

Projektowanie Efektywnych Algorytmów  
Projekt  
22/12/2020

248820 Przemysław Rychter

#### (4) Ant Colony Optimization

[illegible]

## 1. Sformułowanie zadania

Zadanie polega na opracowaniu, implementacji i zbadaniu efektywności algorytmu opartego o metode kolonizacji mrówkowej w problemie Komiwożera. Problem komiwożera ( eng. *Travelling salesman problem, TSP*) to zagadnienie polegające na znalezieniu minimalnego cyklu Hamiltona w pełnym grafie ważonym. Algorytm mrówkowy posiada kilka parametrów, ich dobór ma kluczowe znaczenie, dla działania algorytmu.

Wielkość błędu bezwzględnego, w zależności od wielkości instancji, nie może przekraczać:

- dla  $n < 25$ , 0%,
- dla  $24 < n < 350$ , 50%,
- dla  $75 < n < 2500$ , 150%.

## 2. Metoda

W 1989 roku Deneubourg odkrył i wykazał, że mrówki potrafią odszukać najkrótszą drogę do pożywienia. Posiadają tzw. inteligencję zbiorową (stadną), która oparta jest na wykorzystaniu wspomnianego systemu komunikacji. Inteligencja stadna jest techniką sztucznej inteligencji bazująca na studiach nad kolektywnym wzorcem zachowań indywiduów w samoorganizujących się systemach. W celu znalezienia najkrótszej drogi do pożywienia mrówki komunikują się ze sobą zostawiając feromony w otoczeniu. Ta forma komunikacji nazywana jest stygmergią. Pojedyncza mrówka porusza się losowo, lecz gdy napotka na swej drodze ślad feromonowy, jest to wielce prawdopodobne, że mrówka będzie podążać za tym śladem. Mrówka furazując, pozostawia ślad feromonowy na swej drodze. Gdy znajdzie źródło pożywienia, wraca do mrowiska wzmacniając drogę powrotu śladem feromonowym. Z czasem ślad feromonowy zanika.

Metoda Optymalizacyjna zaproponowana przez Marco Dorigo na początku lat 90

- Każda wirtualna mrówka jest probabilistycznym mechanizmem, który konstruuje rozwiązanie problemu wykorzystując:
  - Pozostawianie sztucznego feromonu
  - Informację Heurystyczną: ślady feromonowe, pamięć odwiedzonych miast i widoczność

Implementacja algorytmu mrówkowego dla problemu komiwojażera wygląda następująco:

- Algorytm uruchamia określoną ilość iteracji( może one bazować na danym warunku zatrzymania)
- Podczas każdej iteracji określona ilość mrówek szuka cyklu Hamiltona, podejmując probabilistyczną decyzję podczas wyboru następnego wierzchołka tworzącego cykl
- Po każdej iteracji ilość feromonów jest uaktualniana w określony sposób

Mrówki mogą być rozmieszczane losowo, lub każda w innym wierzchołku, w implementacji liczba wierzchołków instancji to liczba mrówek.

Początkowa ilość feromonów na każdej krawędzi wynosi:

$$\tau_0 = \frac{m}{C^{nm}} \quad (1)$$

m - liczba mrówek

$C^{nm}$  - szacowana długość trasy ( średnia z 10000 próbek losowo znalezionych tras)

Każda mrówka podczas konstruowania trasy wybór następnego wierzchołka podejmuje w oparciu o prawdopodobieństwo wyliczone na podstawie wcześniej podanej informacji heurystycznej:

Prawdopodobieństwo wyboru miasta  $j$  przez  $k$ -tą mrówkę w mieście  $i$  dane jest wzorem:

$$p_{ij} = \begin{cases} \frac{(\tau_{ij})^\alpha (\eta_{ij})^\beta}{\sum_{c_{i,l} \in \Omega} (\tau_{ic})^\alpha (\eta_{ic})^\beta} & \forall c_{i,l} \in \Omega \\ 0 & \forall c_{i,l} \notin \Omega \end{cases}$$

gdzie:

$\mathbf{c}$  - kolejne możliwe (nie znajdujące się na liście  $tabu_k$  miasto),

$\Omega$  - dopuszczalne rozwiązanie (nieodwiedzone miasta, nienależące do  $tabu_k$ ),

$\eta_{ij}$  -wartość lokalnej funkcji kryterium; np.  $\eta = \frac{1}{d_{ij}}$  (*visibility*), czyli odwrotność odległości pomiędzy miastami,

$\alpha$  - parametr regulujący wpływ  $\tau_{ij}$ ,

$\beta$  - parametr regulujący wpływ  $\eta_{ij}$ .

Rysunek 1: Slajd z wykładu opisujący prawdopodobieństwo wyboru następnego wierzchołka

Na powyższym rysunku jest błąd w mianowniku zamiast  $\tau$  drugi raz powinno być  $\eta$

W implementacji przyjęto:

$$\alpha=1$$

$$\beta=3$$

$\tau_{ij}$  - ilość feromonów między wierzchołkami  $i$  oraz  $j$

Istnieją trzy typy algorytmu: gęstościowy, ilościowy oraz cykliczny. W implementacji zastosowałem cykliczny, w którym ilość feromonów uaktualniamy po wykonaniu iteracji czyli znalezieniu  $m$  tras przez  $m$  mrówek. Każda mrówka posiada tą samą ilość feromonu która po podzieleniu przez długość znalezionej trasy, dodawana jest do każdej krawędzi przez którą mrówka szła.

W CAS stała ilość feromonu  $Q_{Cycl}$  dzielona jest przez długość trasy  $L$  znalezionej przez  $k$ -tą mrówkę -  $L^k$ .

$$\Delta\tau_{ij}^k(t, t+1) = \begin{cases} \frac{Q_{Cycl}}{L^k} & \text{jeżeli } k\text{-ta mrówka przeszła z } i \text{ do } j \text{ na swojej trasie} \\ 0 & \text{w przeciwnym przypadku} \end{cases}$$

Rysunek 2: Sposób dodawania feromonów w algorytmie typu CAS

W implementacji zostało przyjęte  $Q_{Cycl}=100$

Po wykonaniu iteracji ilość feromonu na każdej krawędzi jest aktualizowana:

Wartość feromonu aktualizowana jest po  $n$  krokach wg wzoru:

$$\tau_{ij}(t+n) = \rho_1 \cdot \tau_{ij}(t) + \Delta\tau_{ij}(t, t+n),$$

gdzie

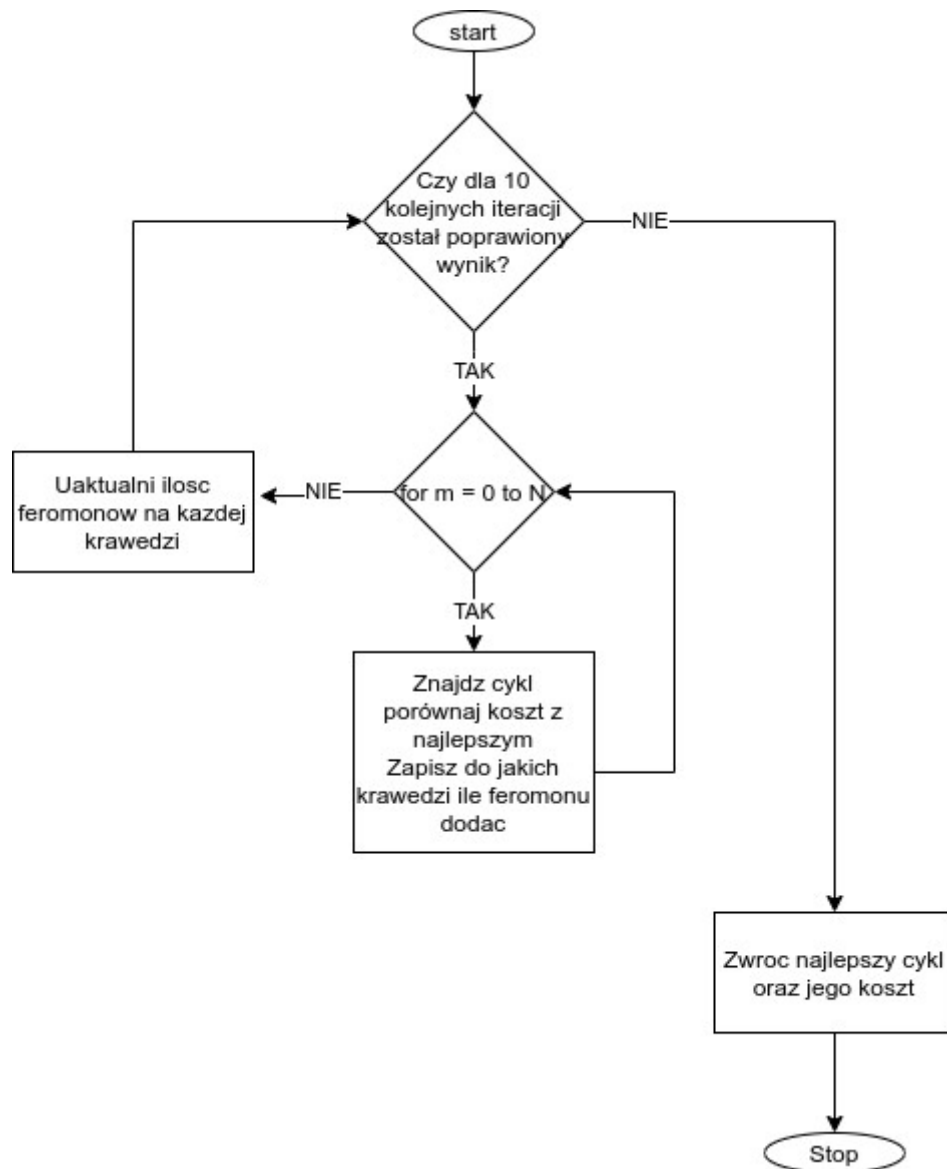
$$\Delta\tau(t, t+n) = \sum_m^{k=1} \Delta\tau_{ij}^k(t, t+n)$$

*Rysunek 3: Sposób aktualizowania feromonu*

Na powyższym zdjęciu czynnik  $\Delta$  to po prostu sumą feromonu które zostawiły wszystkie mrówki na danej krawędzi, natomiast  $\rho_1$  to liczba informująca ile % feromonów wyparowało. W implementacji przyjęte zostało:  $\rho_1=0.5$

W implementacji ilość iteracji wyznaczona jest warunkiem zatrzymania który zakończy algorytm jeżeli w 100 kolejnych iteracjach najlepszy wynik nie zostanie poprawiony.

### 3. Algorytm



Rysunek 4: Schemat blokowy algorytmu ACO

Na powyższym rysunku przedstawiony jest konceptualny schemat blokowy algorytmu, na podstawie którego go napisałem, poza materiałami z wykładu inspirowałem się tutorialiem na youtube: [https://www.youtube.com/watch?v=783ZtAF4j5g&ab\\_channel=AliMirjalili](https://www.youtube.com/watch?v=783ZtAF4j5g&ab_channel=AliMirjalili) stroną [http://155.158.112.25/~algorytmyewolucyjne/materialy/inteligencja\\_stadna.pdf?fbclid=IwAR3sSYjw7eWPe\\_GqagjLeEqOam0jI0n2Kv5Qul3b9QKGCmDI0V2W4kFTio](http://155.158.112.25/~algorytmyewolucyjne/materialy/inteligencja_stadna.pdf?fbclid=IwAR3sSYjw7eWPe_GqagjLeEqOam0jI0n2Kv5Qul3b9QKGCmDI0V2W4kFTio) oraz załączonym plikiem pdf.

#### 4. Dane testowe

Do sprawdzenia poprawności działania algorytmu wybrano następujący zestaw instancji:

- tsp\_6\_1.txt
- tsp\_10.txt
- tsp\_12.txt
- tsp\_13.txt
- tsp\_14.txt
- tsp\_15.txt

<http://jaroslaw.mierzwa.staff.iiar.pwr.wroc.pl/pea-stud/tsp/>

Algorytm dla powyższych instancji, zwrócił ścieżki o koszcie optymalnym

<http://jaroslaw.rudy.staff.iiar.pwr.wroc.pl/pea.php#instances>

Do wykonania ostatecznych badań wybrano następujący zestaw instancji:

##### ◆ Instancje symetryczne

- gr17.tsp
- gr21.tsp
- bayg29.tsp 2
- dantzig42.tsp
- berlin52.tsp
- brazil58.tsp
- st70.tsp
- eil76.tsp
- gr96.tsp
- kroB100.tsp
- pr107.tsp
- gr120.tsp
- bier127.tsp
- pr136.tsp
- pr144.tsp
- pr152.tsp
- brg180.tsp
- rat195.tsp
- gr202.tsp
- gr229.tsp
- gil262.tsp
- a280.tsp
- pr299.tsp
- linhp318.tsp
- rd400.tsp
- fl417.tsp

##### ◆ Instancje asymetryczne

- m9.atsp
- br17.atsp
- ftv33.atsp
- ftv38.atsp
- p43.atsp
- ft53.atsp
- ftv64.atsp
- ftv70.atsp
- ftv170.atsp
- rbg323.atsp
- rbg358.atsp
- rbg403.atsp
- rbg443.atsp

<http://jaroslaw.rudy.staff.iiar.pwr.wroc.pl/pea.php#instances>

## 5. Procedura badawcza

Zbadałem czas rozwiązania problemu oraz błąd względem rozwiązania optymalnego w zależności od wielkości instancji.

Procedura badawcza polegała na uruchomieniu programu sterowanego plikiem inicjującym .ini format pliku:

```
nazwa_instancji liczba_wykonań rozwiązanie_optymalne
...
nazwa_instancji liczba_wykonań rozwiązanie_optymalne
nazwa_pliku_wyjściowego
```

Instancje testowe pochodziły ze stron:

- <http://elib.zib.de/pub/mp-testdata/tsp/tsplib/atsp/index.html> (ATSP)
- <http://elib.zib.de/pub/mp-testdata/tsp/tsplib/tsp/index.html> (TSP)
- <http://jaroslaw.mierzwa.staff.iiar.pwr.wroc.pl/pea-stud/tsp/>

Instancje z dwóch pierwszych powyższych adresów zostały pobrane ze strony:

- <http://jaroslaw.rudy.staff.iiar.pwr.wroc.pl/pea.php>

Poniżej przykładowa treść plik „conf.ini” ( dla badań mających na celu dostrojenie algorytmu).

```
m9.atsp 10 215
br17.atsp 10 39
ftv33.atsp 10 1286
ftv38.atsp 10 1530
p43.atsp 10 5620
ft53.atsp 10 6905
ftv64.atsp 10 1839
ftv70.atsp 10 1950
gr17.tsp 10 2085
gr21.tsp 10 2707
bayg29.tsp 20 1610
dantzig42.tsp 15 699
berlin52.tsp 10 7542
brazil58.tsp 10 25395
st70.tsp 10 675
eil76.tsp 10 538
Opis_jak_dostrojone.csv
```

Każda instancji rozwiązywana była zgodnie z liczbą jej wykonań, np. ftv64.atsp wykonana została 10 razy. Do pliku wyjściowego Opis\_jak\_dostrojone.csv zapisywane były informacje o instancji: jej nazwa, liczba wykonań algorytmu oraz ilość wierzchołków. Następnie zapisywane były czasy wykonań algorytmu dla tej instancji. Plik wyjściowy zapisywany był w formacie csv. Poniżej przedstawiono fragment zawartości przykładowego pliku wyjściowego.

```
ft53.atsp Reps: 10 Nodes: 53
6604922
5205713
6375854
6400286
7179492
5108533
6247084
5229969
7029841
6305316
ftv64.atsp Reps: 10 Nodes: 65
```

Na standardowe wyjście dla każdego powtórzenia algorytmu zwracana była wartość błędu, znalezionego rozwiązania względem optymalnego podanego w pliku „conf.ini” oraz średnia wartość tego błędu dla każdej z instancji. Na koniec wyjścia zwracane było średnie wartości błędu



w kolumnie odpowiadającej badanym instancjom. Poniżej fragment pliku do którego standardowe wyjście było przekierowywane w celu zapisania danych o błędach i ich analizie.

```
eil76.tsp      nodes: 76
blad: 9.47955 %
blad: 9.29368 %
blad: 9.8513 %
blad: 10.5948 %
blad: 9.8513 %
blad: 7.0632 %
blad: 14.4981 %
blad: 9.8513 %
blad: 11.1524 %
blad: 6.3197 %
sredni blad (w %) dla aktualnej instancji ponizej
9.79554

SREDNIE BLEDY w % DLA KOLEJNO WSZYSTKICH INSTACJI Z conf.ini
0
0.339858
17.5091
19.3692
21.3436
5.45652
11.9014
9.79554
```

Pomiary zostały wykonane na platformie sprzętowej:

- procesor: Intel® Core™ i5-8250U CPU 1.60GHz × 8
- pamięć operacyjna: 31,2 GB
- system operacyjny: z rodziny Linux - Ubuntu 20.04.1 LTS 64-bit

Pomiary czasu zostały wykonane za pomocą biblioteki `std::chrono` [6].

```
Aco aco = Aco();

auto start = std::chrono::high_resolution_clock::now();

solution_cost = aco.calculate(vertices, distances);

auto stop = std::chrono::high_resolution_clock::now();
aco.~Aco();
```

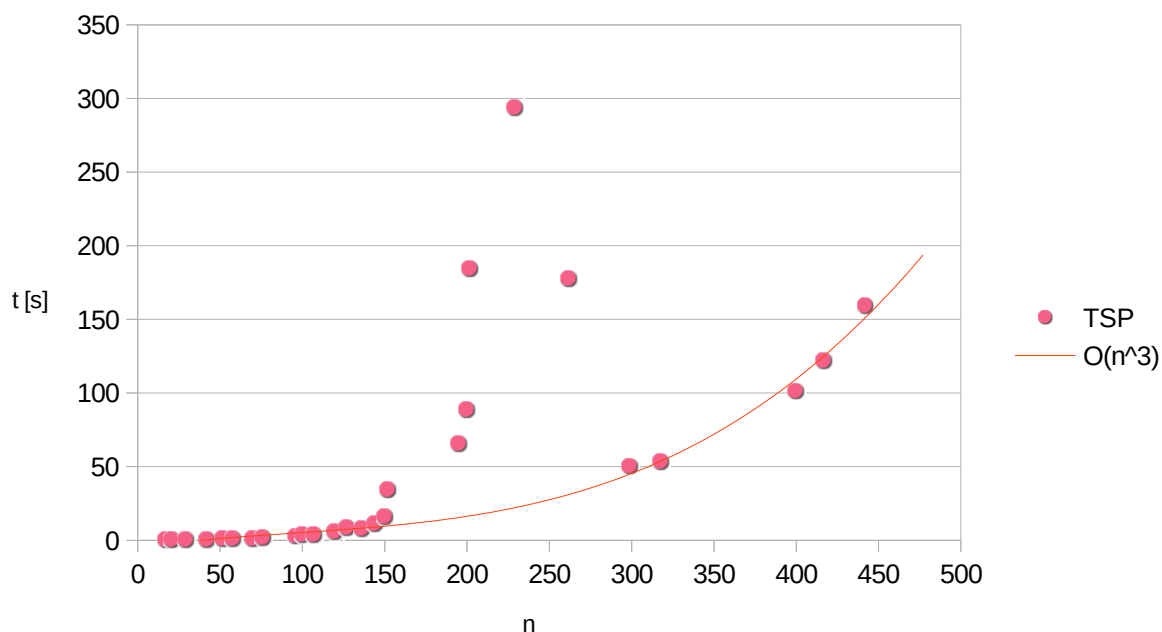
Rysunek 5: Fragment kodu przedstawiający sposób pomiaru czasu wykonania algorytmu

Wyniki zostały opracowane w programie LibreOffice Calc.

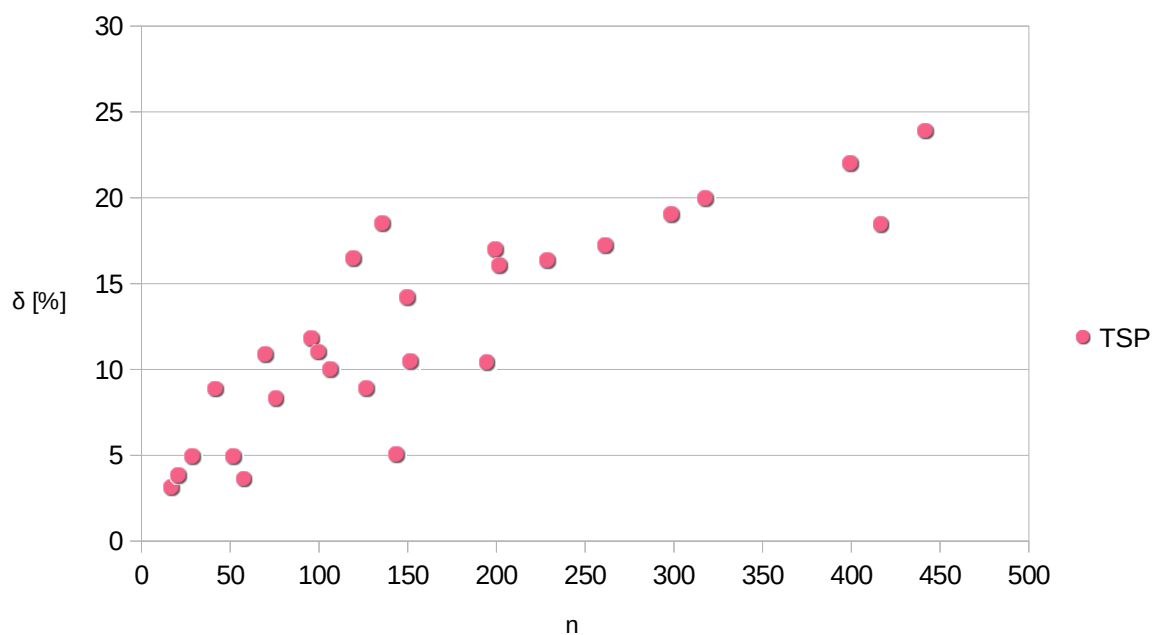
## 6. Wyniki

Wyniki zgromadzone zostały w plikach csv :

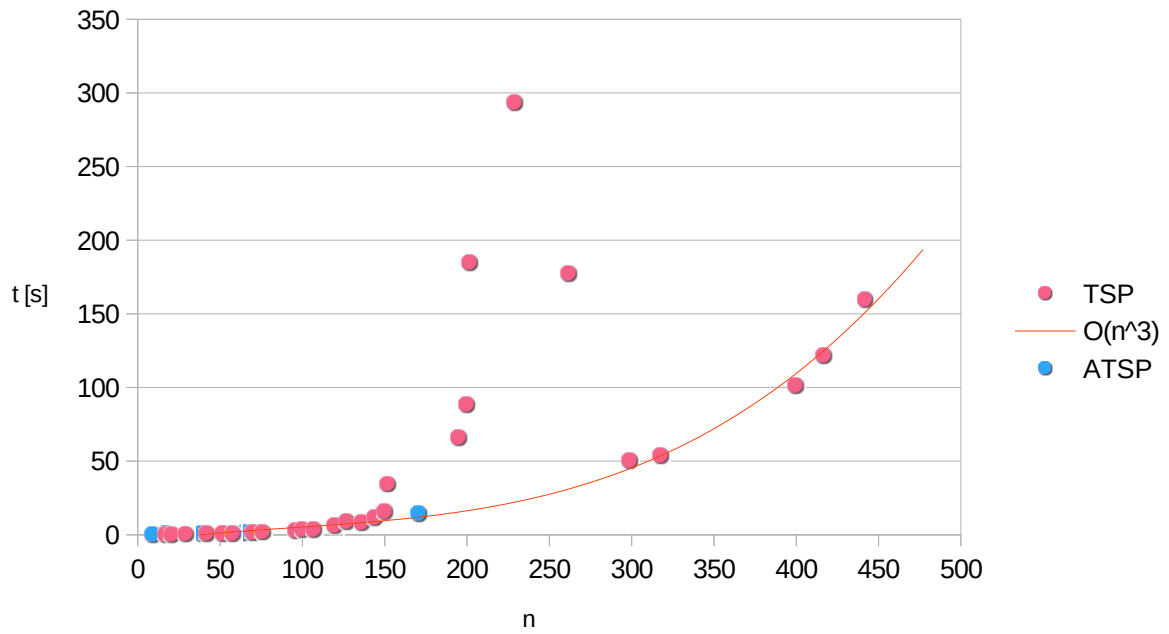
Pliki zostały dołączone do raportu i znajdują się na dysku Google pod adresem [https://drive.google.com/drive/folders/1yHS-PS9DVc7rIv4o933\\_UdkAuBjO8zVU](https://drive.google.com/drive/folders/1yHS-PS9DVc7rIv4o933_UdkAuBjO8zVU).



Rysunek 6: Wpływ wielkości instancji  $n$  na czas rozwiązania TSP algorytmem ACO



Rysunek 7: Wpływ wielkości instancji  $n$  na błąd względny  $\delta$  uzyskanego rozwiązania algorytmem ACO



Rysunek 8: Wpływ wielkości instancji  $n$  na czas rozwiązania TSP i ATSP algorytmem ACO

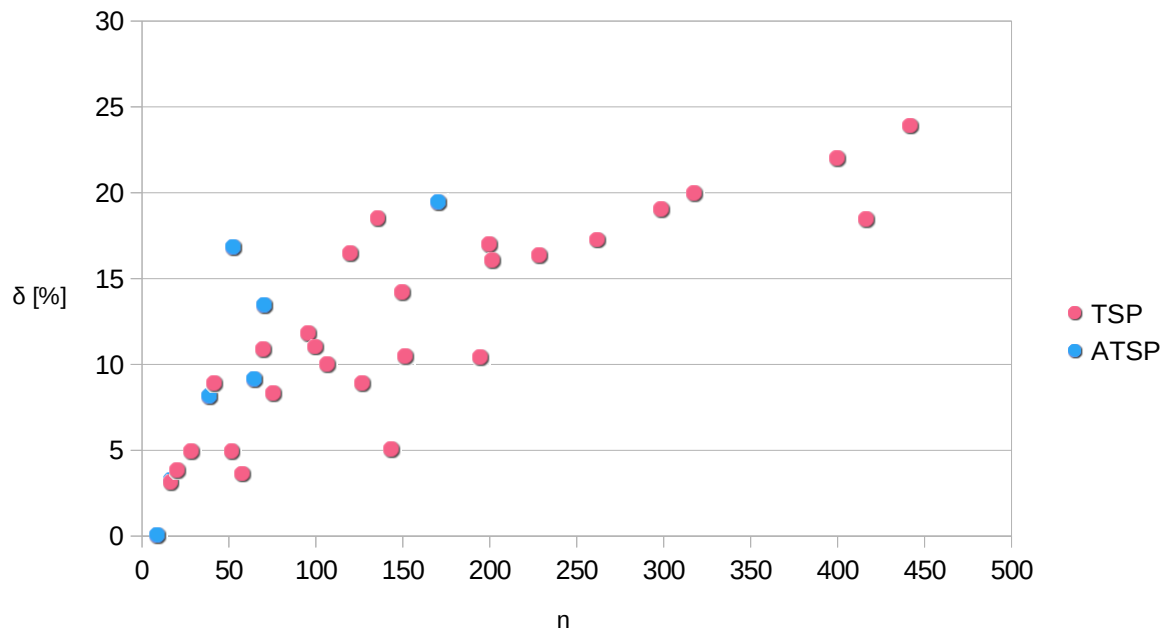
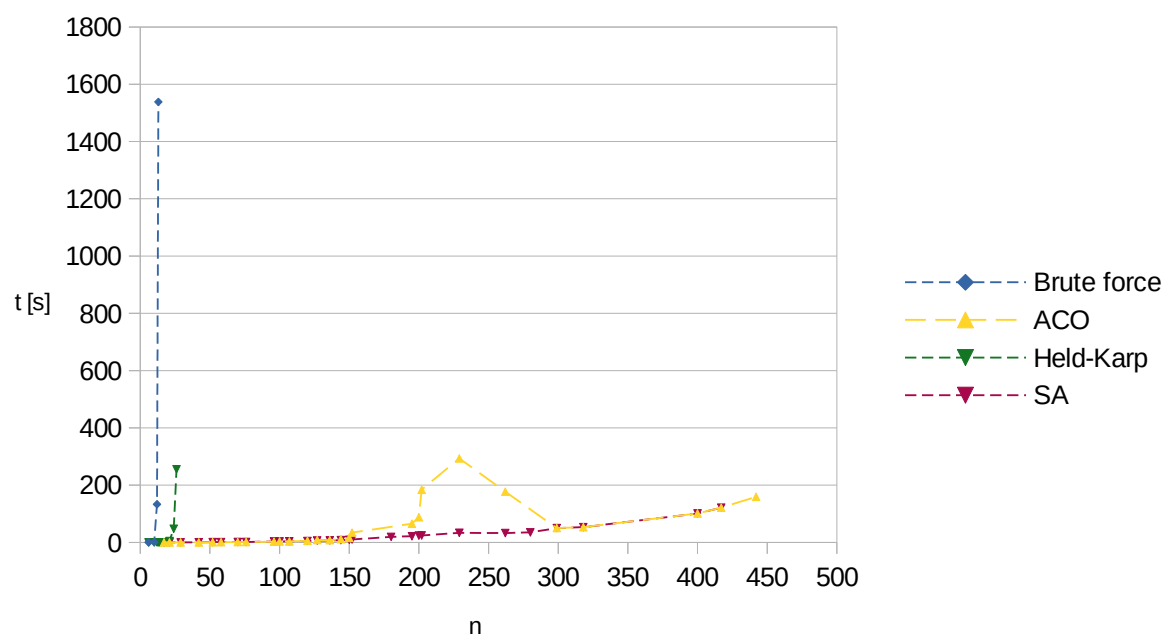


Figure 9: Wpływ wielkości instancji  $n$  na błąd względny  $\delta$  uzyskanego rozwiązania algorytmem ACO

## 6.1 Porównanie z innymi algorytmami



Rysunek 10: Porównanie czasu działania badanych algorytmów w zależności od wielkości instancji

## 7. Analiza wyników i wnioski

Udało się z powodzeniem zaimplementować algorytm ACO o złożoności  $O(n^3)$  (pseudowielomianowej). Dla instancji symetrycznych do 450 wierzchołków udało się zwracać rozwiązania z błędem do 30% w stosunku do rozwiązania optymalnego.

Na wykresie zależności czasu wykonania algorytmu od wielkości instancji (rysunek 6) nałożono krzywą  $O(n^3)$ , ponieważ pasuje ona do pomiarów uznałem, że algorytm posiada taką właśnie złożoność czasową. Według literatury złożoność ACO wynosi  $O(CC * n^3)$  gdzie CC to liczba iteracji, taką złożoność nazywamy pseudowielomianową ponieważ, spodziewamy się że CC powinno rosnąć wykładniczo. Warunek zatrzymania, który spowoduje zakończenie algorytmu, jeżeli dla 10 kolejnych iteracji nie zostanie poprawiony najlepszy wynik, może powodować dłuższe czasy obliczeń, instancji które nie pasują do krzywej  $n^3$ . Możliwe, że mają one specyficzną budowę (np. wiele krawędzi jest podobnej długości, podczas gdy wszystkie inne instancje posiadają bardziej zróżnicowaną przestrzeń rozwiązań).

Jak widać na wykresie błędów w zależności od wielkości instancji (rysunek 7) wydaje się, że punkty na początku tworzą funkcję liniową. Do dokładniejszego stwierdzenia jak zachowuje się błąd względny, należałoby przeprowadzić badania z instancjami o większych rozmiarach. Być może błędy względne tworzą na wykresie funkcję logarymiczną, albo nawet nie ma wzrostu błędu, i pozostaje on na podobny poziomie wraz ze wzrostem wielkości instancji.

Algorytm nie okazał się być lepszy od SA (błędy do 6 %), zapewne z powodu braku dostrojenia i większej ilości badań tak jak zrobiłem to dla SA. Wartości parametrów ACO zostały ustalone na podstawie danych z wykładu, które zostały wyznaczone na podstawie doświadczeń Marco Dorigo.

Powyższy wykres (rysunek 10) porównujący wszystkie zaimplementowane przez mnie algorytmy pokazuje przewagę metod probabilistycznych i zastosowań heurystyk, jeżeli chodzi o czas wykonywania algorytmu. Algorytm ACO wykonuje się w podobnym czasie co SA jednakże, SA był dobrze dostrojony, czego nie uczyniłem dla ACO. Błędy dla ACO są znacznie większe (około 5 razy) tak więc z tych implementacji najlepszy okazał się być algorytm symulowanego wyżarzania. Trzeba pamiętać, że metody probabilistyczne przeważnie zwracają wynik z pewnym błędem, jednak poprzez dostrajanie parametrów może być zredukowany do małych wartości.

Ze względu na sposób obliczania prawdopodobieństwa wyboru następnego wierzchołka przez mrówkę, trzeba było odrzucić instancje które posiadały krawędzie o długości 0 (aby nie dzielić przez 0), dlatego zostało wykonano tak mało testów instancji asymetrycznych.